

# MP 5 : Transition de phase

L1

## PLAN: I. Transitions du 1<sup>e</sup> ordre: caractéristiques

1. Discontinuité du volume
2. Chaleur latente de fusion de l'eau
3. Chaleur latente de vaporisation de l'azote

## II. Illustration d'autres transitions de phase

1. Opalescence critique
2. Transition ferro-paro du fer
3. Retard à la transition: surfusion de l'eau

Rmq: la machine à SF<sub>6</sub> n'est pas encore utilisable  
pas assez d'azote pour visualiser l'effet Maxwell

Biblio: - Quatorze thermos

- Papier thermo (théorie)
- Duffort CAPES.
- Charnon

## Intro :

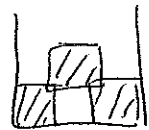
- \* On a tous étudié parler des 3 états de l'eau : solide, liquide et vapeur.
- \* Aujourd'hui, on va s'intéresser aux passages entre les ~~entre~~ phases de diverses compositions : les transitions de phase ou changements d'état.
- \* Les transitions de phase peuvent être de plusieurs ordres, et on va tout de suite commencer par étudier les caractéristiques des transitions du 1<sup>er</sup> ordre.

### I. Transition du 1<sup>er</sup> ordre : caractéristiques

On va s'intéresser à la transition solide  $\rightarrow$  liquide

#### 1. Discontinuité de volume

Une des caractéristiques des transitions du premier ordre, est la discontinuité d'une (au moins) des dérivées du potentiel thermodynamique associé aux conditions observées.



glacons     $m =$

( $\rho_{\text{glace}} = 917 \text{ kg.m}^{-3}$ ).



eau liquide

$$V =$$

à l'éprouvette

$$\Rightarrow V =$$

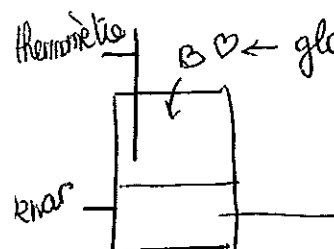
$\Rightarrow$   $\uparrow$  de volume lors du changement de phase solide  $\rightarrow$  liquide

#### 2. Chaleur latente de fusion de l'eau (suffit CAPES pg 281)

On va utiliser la méthode des mélanges pour déterminer la chaleur latente de fusion de la glace.

Ds 1 calorimètre, on ajoute à une masse  $M$  d'eau liquide à  $\Theta_i$ , quelques glaçons à la température  $\Theta_g$  et de masse  $m$ .  
 Soit  $\Theta_f$  la température de l'eau après fusion complète.

Résumé:  $(M + m_c) C_{eau} (\Theta_i - \Theta_f) = m L_f + m C_{eau} (\Theta_f - \Theta_g)$

thermomètre  
  
 $m =$   
 $\Theta_g =$

eau liquide  $M =$   
 $\Theta_i =$

or  $L_f = \frac{(M + m_c) C_{eau} (\Theta_i - \Theta_f) - m C_{eau} (\Theta_f - \Theta_g)}{m}$

$C_{eau} = 4180 \text{ J.kg}^{-1}.K^{-1}$   $\Rightarrow L_f =$

$L_f^{\text{tab}} = 333000 \cdot \text{J.kg}^{-1}$

Inexactitudes:

$$\frac{\Delta L_f}{L_f} = \frac{\Delta m}{m} + \frac{(\Delta M + \Delta m_c) C_{eau} (\Theta_i - \Theta_f) + 2\Delta\Theta (M + m_c) C_{eau} + m C_{eau} \Delta\Theta}{(M + m_c) C_{eau} (\Theta_i - \Theta_f) - m C_{eau} \Theta_f} + \frac{C_{eau} \Delta\Theta}{L_f}$$

$$\boxed{\frac{\Delta L_f}{L_f} \approx \frac{\Delta m_c C_{eau} (\Theta_i - \Theta_f) + 2\Delta\Theta (C_{eau}(M + m_c) + m)}{(M + m_c) C_{eau} (\Theta_i - \Theta_f) - m C_{eau} \Theta_f}}$$

$\Delta m_c = 0,0056 \text{ kg}$

$\Delta\Theta =$

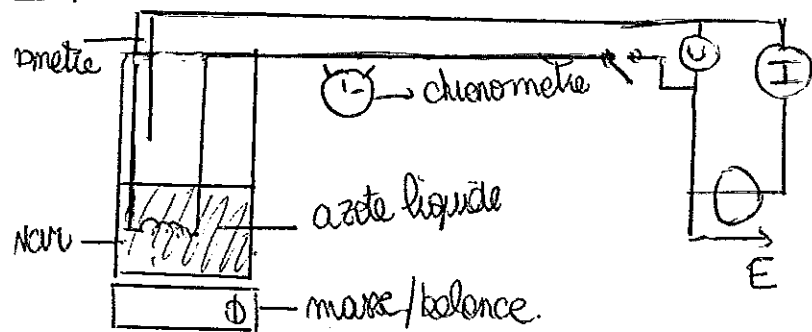
$$\left. \frac{\Delta L_f}{L_f} \right\} =$$

### 1.3. Chaleur latente de vaporisation de l'azote (Auguste pp 51) L3

On va ici s'intéresser à la vaporisation de l'azote liquide.

Afin de déterminer la chaleur latente de vaporisation, on va utiliser la calorimétrie et notamment la méthode électrique -

schéma de l'expérience:



( $\Delta$  montage courte délivrance  
cor  $R \propto 1/R$  pour faire  
puissance  $P \propto \frac{U^2}{R}$ )

Étape 1: Expérience (après avoir attendu que l'ensemble se soit stabilisé)

On apporte une certaine énergie électrique  $W = U \cdot I \cdot t$ . Cette énergie permet de vaporiser une masse  $m$  d'azote liquide, on a donc  $m L_v = U I t$ .

$$U =$$

$$m =$$

$$I =$$

$$t =$$

Étape 2: Évaluation des pertes (car azote très volatil)

On fait le même manip sans chauffage ( $I=0$ ), et on va donc estimer les pertes dues aux parois.

On regarde la masse qui s'évapore pendant un certain temps.

$$m_p =$$

$$t_p =$$

$$\rightarrow \frac{m_p}{t_p} = v_p = \text{vitesse des pertes.}$$

⇒ Les pertes estimées pour l'exp. précédente sont  $m_p = V_p \cdot t =$

Ainsi, on va utiliser:  $V \cdot I \cdot t = m L_v + \rho t = (m - m_p) L_v$

$$\rightarrow L_v = \frac{V \cdot I \cdot t}{m - m_p} =$$

• pas d'incertitudes car valeur trop écartée de la valeur attendue.

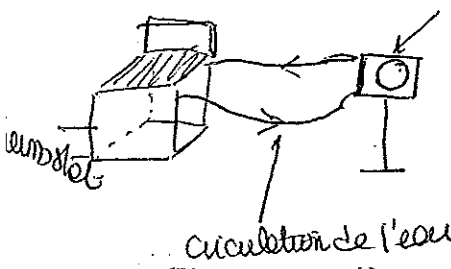
- Jusqu'à présent nous avons vu des transitions du premier ordre, mais il en existe d'autres et c'est ce que l'on va voir ici et de suite.
- On a vu  $L \leftrightarrow V$  est du 1<sup>er</sup> ordre, cela est vrai à moins d'être au point critique, c'est ce que nous allons illustrer ici et de suite.

## II. Illustrations d'autres transitions de phase

### 1. Opacité critique (Annexe pg 359)

On utilise un thermostat et une cellule "SF6"

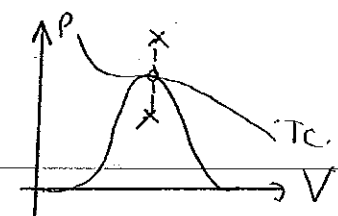
cellule SF6.



→ on éclaire avec  $Q \cdot I + \text{projection + éclairage}$

→ pour le SF6,  $T_c = 45,5^\circ\text{C}$ .

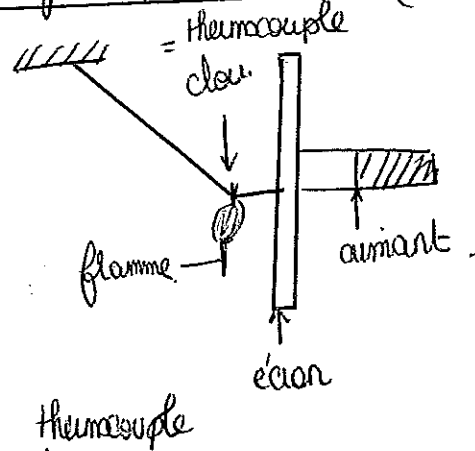
On va donc se placer à  $T > T_c = 45,5^\circ\text{C}$ , afin de faire passer le liquide SF6 à l'état fluide supercritique.



\* Puis on place une cuve glaciée au dessous de la flacon "SF6".  
on redimensionne alors les  $T$  ⇒ en retirant le mélange + vapeur en passant par le point critique.

\* Ici nous avons une transition du second ordre, car nous avons continuité du volume, puisque le SF6 est contenu dans le flacon à un volume fixe.

## 2 - Transition ferro-paras du fer (Quante therm pg 458) LS



\* À la température de curie, ( $T = 770^\circ\text{C}$ ) le clou se détache de l'aimant, quitte la flamme et se refroidit.

\* En fait le clou est ferromagnétique au départ  $\rightarrow$  attiré par l'aimant, puis lorsqu'en passe la température de curie, l'aimant devient paramagnétique, il n'est pas attiré par l'aimant, ceci est une des caractéristiques de cet état.

on lit sur le thermocouple.

$$U =$$

$$T_c =$$

(étalonnage)

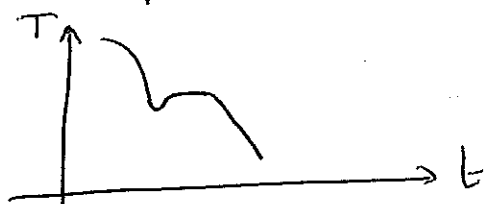
⚠ si  $\Delta T_c = 20^\circ\text{C}$ , c'est parce qu'en a mis de référence au thermocouple

3. Retard à la transition : suspension de l'étain (chaumont)

On chauffe <sup>au</sup> un bêchler (un creuset rempli d'étain solide) dans lequel on place un thermocouple K.

⚠ mettre l'autre bout du thermocouple dans de la glace pour avoir  $T_{ref} = 0^\circ\text{C}$ .

On observe 1 plateau ac phénomène de surfusion (synchrone) -



on en déduit la température de fusion de l'étain  $T_f =$

CONCLUSION